

II-200 緩混合型の感潮河川における汚濁の解析（そのⅡ） — 塩水くさびの発生率の決定に関する理論的考察 —

京都大学工学部 正員 木石富太郎、佐友恒、口伊藤寛男

・はじめに

前報（そのⅠ）の検討からわかるように、隅田川では上げ潮時にかかって、両国、白鬚両地点に塩水くさびが上昇し、下げ潮時においては、塩水くさびは消失し、混合されつつ流下していこうことが類推された。この上げ潮時の塩水くさびの表示法として、各セグメントに η を導入したが、その値の決定が問題となる。中間混合型としていろいろな型を考えられたので、非常に複雑な混合型の場合には、試行錯誤的に探らなければならない。（しかし隅田川のように上げ潮時に比較的明確な塩水くさびの発生が認められる場合などは、ある程度理論的探索が可能であろう。以下その方法として弱混合型の場合との対応を調べていく。）

・理論的考察

弱混合型の運動量、水量の連続式は、次のようになります。

$$\begin{aligned} \text{上層流について} \quad & \left\{ \begin{array}{l} \frac{\partial u_1}{\partial t} + \frac{\partial u_1}{\partial x} = -g \cos \theta \frac{\partial \eta}{\partial x} - T_i + P_1 g R_1 \sin \theta \\ \frac{\partial \eta}{\partial t} + \frac{\partial \eta}{\partial x} = 0 \end{array} \right. \quad \cdots \text{①} \end{aligned}$$

$$\begin{aligned} \text{下層流について} \quad & \left\{ \begin{array}{l} \frac{\partial u_2}{\partial t} + \frac{\partial u_2}{\partial x} = -g \cos \theta \frac{\partial \eta}{\partial x} (P_2 R_2 + \frac{1}{2} R_2^2) + T_i + T_b + P_2 g R_2 \sin \theta \\ \frac{\partial \eta}{\partial t} + \frac{\partial \eta}{\partial x} = 0 \end{array} \right. \quad \cdots \text{②} \end{aligned}$$

ここで P_i, R_i, θ は、それぞれ密度、流速、水深で、サフィックス 1, 2 は上層、下層を表す。 θ は河床勾配、 T_i, T_b は内部摩擦力、底面摩擦力、 τ_i, τ_b はそれぞれ時間距離、 g は重力加速度を表す。

また一般にて τ_i, τ_b は、次のようにならざれど。

$$T_i = P_1 g / R_1 - u_1 / (u_1 - u_2) / 4 C_i^2 \quad T_b = \pi^2 R_2^2 / R_1^2 \quad (C_i, \pi は ジエジー, マニーナの抵抗係数)$$

ここで落潮時を、近似的に定常と見なしの式は次式となる。

$$T_i (P_1 u_1^2 R_1 - g \cos \theta P_1 R_1)^{\frac{1}{2}} + (u_1^2 R_1 + \frac{1}{2} g \cos \theta R_1)^{\frac{3}{2}} \frac{\partial \eta}{\partial x} = P_1 R_1 g \sin \theta - \tau_i \quad \cdots \text{③}$$

ここで u_1, R_1 は DR derivative で DR に沿うもので $P_1 u_1^2 R_1$ 、 $u_1^2 R_1$ は $g \cos \theta P_1 R_1^2$ 、 $\frac{1}{2} g \cos \theta R_1^2$ に比べて order に無視できる。又 η を order に無視して $T_i = \lambda P_1 u_1^2 / 2$ (λ : 摩擦係数) を代入すると次式を得る。

$$\frac{\partial \eta}{\partial x} = -\frac{g^2}{R_1} \tan \theta - \frac{1}{2} \cdot \frac{3 \pi^2 R_1^2}{g^2} \sec \theta \quad \cdots \text{④}$$

④式を積分して $\theta = 0$ と見なし、 $\lambda = \lambda R_1$ を表すと（ここで R_1 は河道特性値）④式となる。

$$2g(\lambda R_1^{1/2} - \lambda R_1^{3/2}) / (\pi - 4) R_1^{3/2} = x - x_0 \quad \cdots \text{⑤}$$

⑤式により、この塩水くさびの形状を定まる。 x_0 については、金田、大槻によると調査結果や往復式による塩水くさびの調査から $x_0 = 6$ と設定しておいたものと考える。従ってこの式は ④式となる。

$$1/R_1^{1/2} - 1/R_1^{3/2} = \lambda g (x - x_0) / g \quad \cdots \text{⑥}$$

ここで 河口部における ($x_0 = 0$) R_1 は限界水深を取る。

$$R_{10} = (g^2 / \varepsilon g)^{1/2} \quad \cdots \text{⑦}$$

$$\varepsilon = (P_2 - P_1) / P_1 \equiv 0.02$$

$$R_1 = [1 / \{ (g^2 / \varepsilon g)^{-1/2} + \lambda g^2 x / g \}]^{1/2} \quad \cdots \text{⑧}$$

と二つを値としては、九頭竜川における需要予測調査にすれば²⁾図-1に示す結果を得ている。いま隅田川における上げ潮時の塩分を上に当、で図-1とほぼ同様に γ 値をとるものと見なせば、(8)式から、隅田川における落潮時の塩水くさびを図-2のように推定し得る。(隅田川における γ 値は、白髪地點における流量、河幅より $\gamma_1 = 0.18 \text{ m}^3/\text{sec} \cdot \text{m}$ として時の概形を示すものとする) ここで図-2から求めた γ 値と干満水位から計算した γ 値を決定し得る。

○実測 γ 値と計算 γ 値の比較

次に(その1)を実測値から求めた γ 値と(その2)の計算 γ 値とを対比したのが図-3である。図-3の結果から判断する限り、隅田川のような混合型の河川では弱混合型と見なして算定し得る塩水くさびの形状がやや変形されたものになつてゐることがわかる。つまり弱混合型定常解として求められる塩水くさびを上げ、混合効果により、てぐうに上流域まで分散され塩水の影響がより上流に及ぶのが特徴となる。その結果河口部での塩水くさびが、理論解よりも小さなものとなり、その量だけ上流域に影響が分散されていうことが図-3よりわかる。

○まとめ

結局、理論的に各セグメントの γ 値を推定する一つの方針として次の手順が考えられる。

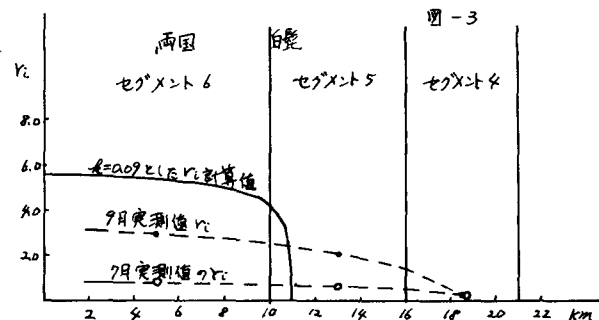
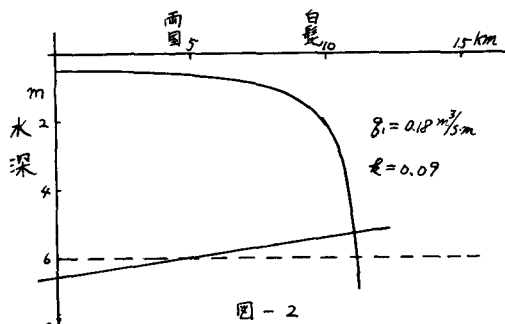
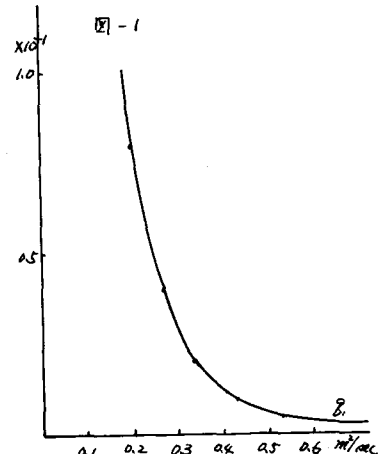
1)まず河道特性 α, κ を推定する。

2)弱混合解として、塩水くさびの形状を推定する。

3)上に求めた塩水くさびが、混合効果により上流域に分散されることは見なす。

4)すなはち計算によろくくさび形状が、量的には1%~3%程度に小さくなる、といふと同時に、その距離が2~3倍上流域に及んでいるものを見なす。

5)このように混合効果を考慮して、計算にとくくさび形状を補正した後各セグメントにおける γ 値が干満差水位の何倍量に相当するかにより、て γ 値を決定すればよい。



- 参考文献 1)大塚吉則“淡塩水混合域における用水取得に関する研究”京都大学修士論文,昭39
2)新日本技術コンサルタント,住友;福井県臨海工業用水道計画取水可能量調査報告書,昭46
3)平村,工芸学会第17回海岸工学講演会論文集,昭56